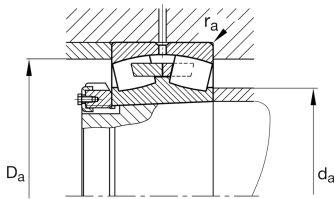
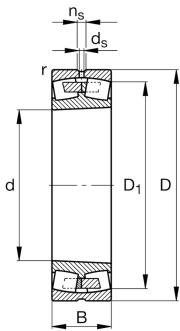
**FAG****239/1060-K-MB** [↗](#)

Rodamiento oscilante de rodillos

Rodamiento oscilante de rodillos 239..-K-MB, simétrico, tres bordes

## Información técnica



## Variante de su producto actual

Tipo de agujero	K	Cónico, conicidad 1:12
Jaula	MB	Jaula maciza de latón
Juego radial del rodamiento	CN (Group N)	Normal internal clearance
Función de relubricación	Norma	Estándar

## Medidas principales y datos de rendimiento

d	1.060 mm	Diámetro del agujero
D	1.400 mm	Diámetro exterior
B	250 mm	Anchura
$C_r$	9.900.000 N	Capacidad de carga dinámica, radial
$C_{0r}$	26.000.000 N	Capacidad de carga estática, radial
$C_{ur}$	1.450.000 N	Límite de carga por fatiga, radial
$n_G$	420 1/min	Velocidad límite de rotación
$n_{gr}$	202 1/min	Velocidad de referencia
$m$	1.042 kg	Peso

## Medidas de montaje

$d_{a \min}$	1.088 mm	Diámetro mínimo resalte del eje
$D_{a \max}$	1.372 mm	Diámetro máximo del resalte del alojamiento
$r_{a \max}$	6 mm	Radio máximo de la ranura



### Medidas

$r_{\min}$	7,5 mm	Medidas mínimas del chaflán
$D_1$	1.307,6 mm	Diámetro del agujero del anillo exterior
$d_s$	12,5 mm	Diámetro del agujero de engrase
$n_s$	23,5 mm	Anchura de la ranura de lubricación

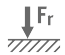
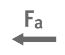
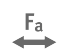





### Rango de temperatura

$T_{\min}$	-30 °C	Temperatura mín. de funcionamiento
$T_{\max}$	200 °C	Temperatura máx. de funcionamiento

### Factores de cálculo

$e$	0,17	Valor límite de $F_a/F_r$ para la aplicabilidad de dif. Valores de los factores X e Y
$Y_1$	4,05	Factor de carga axial dinámica
$Y_2$	6,04	Factor de carga axial dinámica
$Y_0$	3,96	Factor de carga axial estática

### Características

	Carga radial
	Carga axial en un sentido
	Carga axial en ambos sentidos
	Lubricación con grasa
	Lubricación con aceite
	No obturado
	Errores de alineación estáticos
	Errores de alineación dinámicos